

# Функция Гелл-Манна – Лоу квантовой электродинамики

И. М. Суслов<sup>1)</sup>

Институт физических проблем им. П. Л. Капицы РАН, 117334 Москва, Россия

Поступила в редакцию 10 июля 2001 г.

Восстановлена функция Гелл-Манна – Лоу  $\beta(g)$  квантовой электродинамики ( $g$  – постоянная тонкой структуры). При больших  $g$  она имеет поведение  $\beta_\infty g^\alpha$  с  $\alpha \approx 1$ ,  $\beta_\infty \approx 1$ .

PACS: 11.10.-z

В недавних работах автора [1, 2] разработана процедура суммирования расходящихся рядов теории возмущений при произвольных значениях константы связи, в которой информация обо всех членах ряда получается путем интерполяции известных первых членов с асимптотикой Липатова [3]. В настоящей работе мы воспользуемся этой процедурой для восстановления функции Гелл-Манна – Лоу квантовой электродинамики.

Метод Липатова [3] основан на перевальном вычислении функциональных интегралов вблизи инстантонных конфигураций и подвергается сомнению в связи с возможным существованием ренормалонных вкладов [4]. С формальной точки зрения, асимптотика теории возмущений определяется особенностью в борелевской плоскости, ближайшей к началу координат. Если наличие инстантонных сингулярностей не вызывает сомнений, то существование ренормалонных сингулярностей никогда не было доказано, что признается самыми активными сторонниками этого направления [5]. Доказанное автором [6] отсутствие ренормалонных сингулярностей в теории  $\varphi^4$  ставит под сомнение концепцию ренормалонов в целом, хотя аналогичные доказательства для других теорий поля отсутствуют. В такой ситуации мы считаем возможным работать в предположении отсутствия ренормалонных сингулярностей.

1. Асимптотика теории возмущений для квантовой электродинамики обсуждалась в конце 70-х годов [7–9]; все принципиальные вопросы были решены Богомольным и Фатеевым [8, 9], но результаты не были доведены до конкретных величин. Ниже мы частично восполним этот пробел.

Вершина с  $M$  фотонными и  $2L$  электронными концами определяется функциональным интегралом

$$Z_{M,L} = \int DAD\bar{\psi}D\psi A(x_1) \dots A(x_M) \times$$

$$\begin{aligned} & \times \psi(y_1)\bar{\psi}(z_1) \dots \psi(y_L)\bar{\psi}(z_L) \times \\ & \times \exp \left\{ - \int d^4x \left[ \frac{1}{4}(\partial_\mu A_\nu - \partial_\nu A_\mu)^2 + \right. \right. \\ & \left. \left. + \bar{\psi}(i\gamma_\nu \partial_\nu - m + e\gamma_\nu A_\nu)\psi \right] \right\}. \end{aligned} \quad (1)$$

Интегрирование по фермионным полям дает

$$\begin{aligned} Z_{M,L} = \int DA A(x_1) \dots A(x_M) G(y_1, z_1) \dots G(y_L, z_L) \times \\ \times \det(i\gamma_\nu \partial_\nu - m + e\gamma_\nu A_\nu) \times \\ \times \exp \left\{ - \frac{1}{4} \int d^4x (\partial_\mu A_\nu - \partial_\nu A_\mu)^2 \right\} + \dots, \end{aligned} \quad (2)$$

где  $G(x, x')$  – функция Грина оператора Дирака

$$(i\gamma_\nu \partial_\nu - m + e\gamma_\nu A_\nu) G(x, x') = \delta(x - x'), \quad (3)$$

а многоточием показаны члены с другими спариваниями  $\psi(y_i)$  и  $\bar{\psi}(z_k)$ . Оценки показывают, что для перевальной конфигурации величина  $eA_\nu(x)$  велика и можно воспользоваться асимптотикой детерминанта при  $e \rightarrow i\infty$ , так как максимальная скорость роста достигается при чисто мнимых  $e$  [9]:

$$\ln \det(i\gamma_\nu \partial_\nu - m + e\gamma_\nu A_\nu) = \frac{e^4}{12\pi^2} \int d^4x (A_\nu^2)^2. \quad (4)$$

Этот результат не является калибровочно-инвариантным и справедлив лишь при специальном выборе калибровки; он может быть получен для медленно меняющихся полей или для конфигураций, обладающих достаточно высокой симметрией [9]. С учетом (4), в (2) возникает функциональный интеграл с эффективным действием

$$\begin{aligned} S_{\text{эфф}}\{A\} = \int d^4x \left\{ \frac{1}{4}(\partial_\mu A_\nu - \partial_\nu A_\mu)^2 - \frac{4}{3}g^2 (A_\nu^2)^2 \right\}, \\ g = \frac{e^2}{4\pi}, \end{aligned} \quad (5)$$

для которого асимптотика теории возмущений может быть найдена методом Липатова. Структура

<sup>1)</sup>e-mail: suslov@kapitza.ras.ru

асимптотики определяется свойствами однородности для действия [10]; при использовании  $g^2$  в качестве константы связи эти свойства – такие же, как в теории  $\varphi^4$ , и общий член асимптотики имеет вид  $cS_0^{-N}\Gamma(N+b)g^{2N}$ , где  $S_0$  — инстантонное действие. Фактически разложение происходит по произвольным целым (а не только четным)<sup>2)</sup> степеням  $g$  и общий член имеет вид  $cS_0^{-N/2}\Gamma(N/2+b)g^N$ . С учетом значения инстантонного действия, для вклада  $N$ -го порядка в вакуумный интеграл ( $M=0, L=0$ ) имеем [8]

$$Z_N(-g)^N = \text{const} \left( \frac{3^{3/2}}{4\pi^3} \right)^{N/2} \Gamma\left(\frac{N+r}{2}\right) (-g)^N, \quad (6)$$

где  $r=11$  — число нулевых мод, в которое входят 4 трансляции, масштабное преобразование и 6 четырехмерных вращений (инстантон по симметрии соответствует твердому телу неправильной формы).

В общем случае функциональная форма результата может быть найдена путем описанных в [10] структурных вычислений, сводящихся к размерному анализу. Легко показать, что для перевальной конфигурации  $e_c \sim N^{-1/4}$ ,  $A_c(x) \sim N^{1/2}$ ; для установления размерности  $G(x, x')$  выпишем вытекающее из (3) уравнение Дайсона

$$G(x, x') = G_0(x-x') - \int d^4y G_0(x-y) e\gamma_\nu A_\nu(y) G(y, x'). \quad (7)$$

Чтобы выяснить структуру решения, рассмотрим скалярный аналог (7) и предположим, что функция  $A_\nu(x)$  сильно локализована вблизи  $x=0$ ; тогда в интеграле можно положить  $G(y, x') \approx G(0, x')$ , после чего уравнение легко решается:

$$G(x, x') = G_0(x-x') - \frac{G_0(-x') \int d^4y G_0(x-y) e\gamma_\nu A_\nu(y)}{1 + \int d^4y G_0(-y) e\gamma_\nu A_\nu(y)}. \quad (8)$$

Ввиду  $eA_\nu(x) \sim N^{1/4}$  и конечности предела (8) при  $e \rightarrow \infty$  имеем  $G(x, x') \sim N^0$ ; естественно ожидать, что этот результат имеет общий характер и не связан со сделанными предположениями. Вклад  $N$ -го порядка для интеграла (1) имеет вид

$$\text{const} \left( \frac{3^{3/2}}{4\pi^3} \right)^{N/2} \Gamma\left(\frac{N+r+M}{2}\right) (-g)^N \quad (9)$$

<sup>2)</sup> Прямое разложение (2) по последнему члену в (5) некорректно, так как функциональное интегрирование будет затрагивать конфигурации, для которых результат (5) несправедлив. Вычисление должно проводиться методом перевала, который дает непрерывную функцию от  $N$ ; тот факт, что она должна браться в целых или полуцелых точках, является внешним условием.

для четных  $M$  и с лишним множителем  $eN^{1/4}$  — для нечетных  $M$ .

Далекое коэффициенты разложения функции Гелл-Манна – Лоу  $\beta(g) = \sum_N \beta_N (-g)^N$  с точностью до постоянного множителя совпадают с коэффициентами для инвариантного заряда [3], который в электродинамике определяется величиной  $gD$ , где  $D$  — фотонный пропагатор ( $M=2, L=0$ ). Общий член асимптотики  $D_N(-g)^{N+1} \sim NZ_N(-g)^{N+1}$  или  $NZ_{N-1}(-g)^N \sim N^{1/2}Z_N(-g)^N$ , откуда

$$\beta_N = \text{const} \cdot 4.886^{-N} \Gamma\left(\frac{N+12}{2}\right), \quad N \rightarrow \infty. \quad (10)$$

Тот же результат получается при определении инвариантного заряда по тройной вершине ( $M=1, L=1$ ); при этом главный вклад в асимптотику возникает от ампутации фотонной линии.

2. Известны четыре члена разложения  $\beta$ -функции в МОМ-схеме [11]:

$$\begin{aligned} \beta(g) = & \frac{4}{3}g^2 + 4g^3 + \left[ \frac{64}{3}\zeta(3) - \frac{202}{9} \right] g^4 + \\ & + \left[ 186 + \frac{256}{3}\zeta(3) - \frac{1280}{3}\zeta(5) \right] g^5 + \dots \end{aligned} \quad (11)$$

Процедура суммирования ряда требует некоторой модификации по сравнению с [1, 2] в связи с тем, что асимптотика Липатова имеет вид  $ca^N\Gamma(N/2+b)$  вместо  $ca^N\Gamma(N+b)$ . Борелевский образ  $B(z)$  определяется формулами

$$\beta(g) = \int_0^\infty dx e^{-x} x^{b_0-1} B(ag\sqrt{x}),$$

$$B(z) = \sum_{N=0}^\infty B_N(-z)^N, \quad B_N = \frac{\beta_N}{a^N\Gamma(N/2+b_0)}, \quad (12)$$

где  $b_0$  — произвольный параметр. Конформное преобразование  $z = u/(1-u)$  дает для борелевского образа сходящийся ряд по  $u$  с коэффициентами

$$U_N = \sum_{K=1}^N B_K(-1)^K C_{N-1}^{K-1} \quad (N \geq 1), \quad U_0 = B_0, \quad (13)$$

поведение которых при больших  $N$

$$U_N = U_\infty N^{\alpha-1}, \quad U_\infty = \frac{\beta_\infty}{a^\alpha\Gamma(\alpha)\Gamma(b_0+\alpha/2)} \quad (14)$$

определяет параметры асимптотики  $\beta(g) = \beta_\infty g^\alpha$  при  $g \rightarrow \infty$ .

Интерполяция производится для приведенной коэффицентной функции

$$F_N = \frac{\beta_N}{\beta_N^{as}} = A_0 + \frac{A_1}{N - \tilde{N}} + \frac{A_2}{(N - \tilde{N})^2} + \dots, \quad (15)$$

$$\beta_N^{as} = a^N N^{\tilde{b}} \Gamma(N/2 + b - \tilde{b}),$$

путем обрыва ряда и выбора коэффициентов  $A_K$  из соответствия с известными значениями  $F_N$ . Принимается оптимальная параметризация асимптотики с  $\tilde{b} = b - 1/2 = 5.5$  [2], а параметр  $\tilde{N}$  используется для контроля устойчивости результатов и численной оптимизации. В отличие от теории  $\varphi^4$  [1, 2], нам неизвестен общий коэффициент при асимптотике (10). В техническом плане это не представляет проблемы – параметр  $A_0$  в (15) не считается известным, а находится в результате интерполяции. Однако это приводит к значительно большей неопределенности для функции  $F_N$ : ее первые значения  $F_2 = 63.1, F_3 = -7.02, F_4 = 0.34, F_5 = 1.23$  (в единицах  $10^{-3}$ ) обнаруживают лишь слабую тенденцию к выходу на константу и прогнозируемое значение  $A_0 = \lim_{N \rightarrow \infty} F_N$  меняется на несколько порядков в зависимости от  $\tilde{N}$ . На первый взгляд, получение разумных результатов в такой ситуации невозможно.

Однако используемый алгоритм определения асимптотики  $\beta(g)$  обладает своеобразной “суперустойчивостью”. Добавление к  $B_N$  произвольного полинома  $m$ -й степени,  $P_m(N)$ , вообще не меняет коэффициентов  $U_N$  при  $N \geq m + 2$  [2]. Это свойство обобщается на широкий класс гладких функций: замена  $B_N \rightarrow B_N + f(N)$ , где  $f(N)$  — целая функция с быстро убывающими коэффициентами ряда Тейлора, дает изменение  $U_N$ , быстро убывающее с ростом  $N$ . Таким образом, гладкие ошибки оказываются несущественными даже при большой их величине. Напротив, негладкие ошибки приводят к катастрофическому эффекту, что можно использовать для оптимизации интерполяционной процедуры: при неудачном способе интерполяции поведение  $U_N$  при больших  $N$  вообще не может быть интерпретировано в рамках степенного закона [2].

Для проверки этих соображений мы провели тестовый эксперимент для теории  $\varphi^4$ . При использовании полной информации (то есть коэффициентов  $\beta_2, \beta_3, \beta_4, \beta_5$  и параметров  $A_0$  и  $A_1$  в (15)) мы получили  $\alpha = 0.96 \pm 0.01, \beta_\infty = 7.4 \pm 0.4$  [2]; та же процедура без использования  $A_0$  и  $A_1$  дает  $\alpha = 1.02 \pm 0.03, \beta_\infty = 1.7 \pm 0.3$ . Если учесть, что неопределенность коэффицентной функции (оцениваемая путем изменения  $\tilde{N}$  на величину  $\sim 1$  вблизи оптимального значения) в первом случае составляет несколько процентов, а во втором – более чем порядок величины,

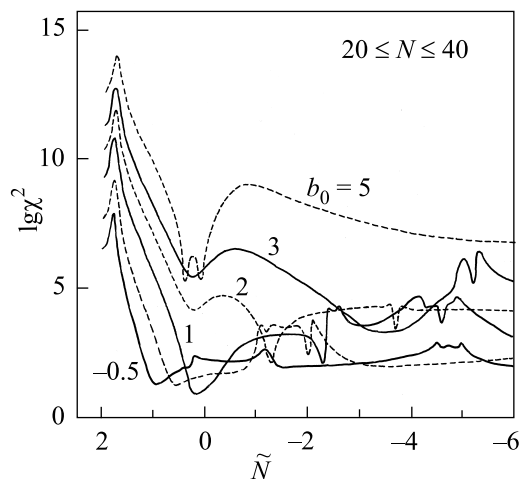


Рис.1

то такая стабильность результатов является вполне удовлетворительной<sup>3)</sup>. Конечно, получаемые ниже результаты должны рассматриваться лишь как нулевое приближение.

Следуя [2], проведем обработку  $U_N$  по степенному закону для фиксированного интервала  $20 \leq N \leq 40$  и различных  $b_0$  и  $\tilde{N}$ . Зависимости  $\chi^2$  от  $\tilde{N}$  (рис.1) позволяют выделить множество интерполяций ( $-0.5 \lesssim \tilde{N} \lesssim 1.0$ ), для которых степенное поведение  $U_N$  является вероятным. Типичные зависимости  $\chi^2$  и эффективных значений  $U_\infty$  и  $\alpha$  от  $b_0$  (рис.2)<sup>4)</sup> указывают, что  $\alpha \approx 1$ . Действительно, смена знака  $U_\infty$  (см. (14)) происходит при  $b_0 = -\alpha/2 \approx -0.5$ . При том же значении  $b_0$  возникает минимум  $\chi^2$ , соответствующий тому, что главный вклад  $U_\infty N^{\alpha-1}$  исчезает и реализуется степенной закон  $U_N \sim N^{\alpha'-1}$ , где  $\alpha'$  – индекс, соответствующий первой поправке к асимптотике  $\beta(g)$  (предполагаем, что  $\beta(g) = \beta_\infty g^\alpha + \beta'_\infty g^{\alpha'} + \beta''_\infty g^{\alpha''} + \dots$  при больших  $g$ ). Значения  $\alpha_{\text{eff}}$  в минимумах  $\chi^2$  при  $b_0 = -\alpha'/2, -\alpha''/2 \dots$ , когда происходит исчезновение соответствующих поправок к (14), наиболее близки к точному значению  $\alpha \approx 1$  [2]<sup>5)</sup>.

На рис.3а представлены различные оценки индекса  $\alpha$  [2] в зависимости от  $\tilde{N}$ : 1 – по значению  $\alpha_{\text{eff}}$

<sup>3)</sup>Полученный сдвиг  $\beta_\infty$  не контролируется оценкой точности, но это вполне объяснимо: отработанная в [2] процедура оценки ошибок обоснована лишь при достаточной близости к точному результату, когда все отклонения могут быть линеаризованы.

<sup>4)</sup>По техническим причинам приводится  $\tilde{U}_\infty = U_\infty \Gamma(b_0 + 1)$ .

<sup>5)</sup>Обычно в тестовых примерах наблюдаются только минимумы  $\chi^2$ , соответствующие  $\alpha$  и  $\alpha'$  [2]. Появление дополнительных минимумов, по-видимому, характерно для малого количества информации, оно наблюдалось и в упомянутом тестовом эксперименте для теории  $\varphi^4$ .

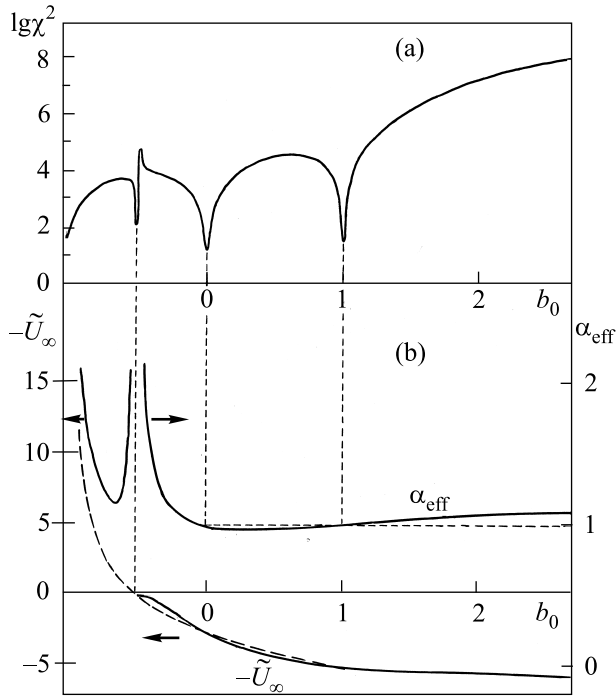


Рис.2

в минимумах  $\chi^2$ , соответствующих  $\alpha'$  и  $\alpha''$ ; 2 – по положению минимума  $\chi^2$ , соответствующего  $b_0 = -\alpha/2$ ; 3 – по смене знака  $U_\infty$  при обработке путем логарифмирования  $U_N$  (сплошная кривая на рис.2b); 4 – то же, при обработке с фиксированным индексом (штриховая кривая на рис.2b). На рис.3b приведены различные оценки  $\beta_\infty$ : 1 – по значению  $U_\infty$  в минимумах  $\chi^2$ , соответствующих  $\alpha'$  и  $\alpha''$ ; 2, 3 – по наклону линейного участка зависимости  $U_\infty(b_0)$  вблизи корня (верхняя и нижняя оценки). Расхождение между различными оценками дает меру неопределенности результатов. При  $\tilde{N} \leq 0.25$  результаты для  $\alpha$  совместимы со значением, чуть меньшим единицы. При  $\tilde{N} > 0.25$  имеется систематический рост до 1.08, не контролируемый ошибкой, но при этом минимумы  $\chi^2$  плохо выражены и нестабильны. Аналогичная картина наблюдается для  $\beta_\infty$ . Мы принимаем, как более надежные, значения в середине исследованного интервала  $\tilde{N}$  и даем консервативную оценку точности, включающую в себя систематические изменения:

$$\alpha = 1.0 \pm 0.1, \quad \beta_\infty = 1.0 \pm 0.3. \quad (16)$$

В силу сказанного выше, даже такая оценка ошибки не является надежной.

Нетрудно провести суммирование ряда для произвольных  $g$ , вычисляя коэффициенты  $U_N$  по формуле (13) при  $N \lesssim 30$  и продолжая их далее согласно найденной асимптотике  $U_\infty N^{\alpha-1}$ . На рис.4 представле-

ны результаты суммирования для  $\tilde{N} = 0.2$ ,  $b_0 = 0$ . Сшивка однопетлевого закона  $\beta_2 g^2$  с асимптотикой  $\beta_\infty g^\alpha$  происходит при  $g \sim 10$ ; при  $g < 5$  отличие  $\beta(g)$  от однопетлевого результата несущественно. В пределах точности найденная асимптотика  $\beta(g)$  совпадает с верхней границей неравенства  $0 \leq \beta(g) < g$ , выведенного в [12] из спектральных представлений. Если принять  $\alpha = 1$ ,  $\beta_\infty = 1$ , то рост постоянной

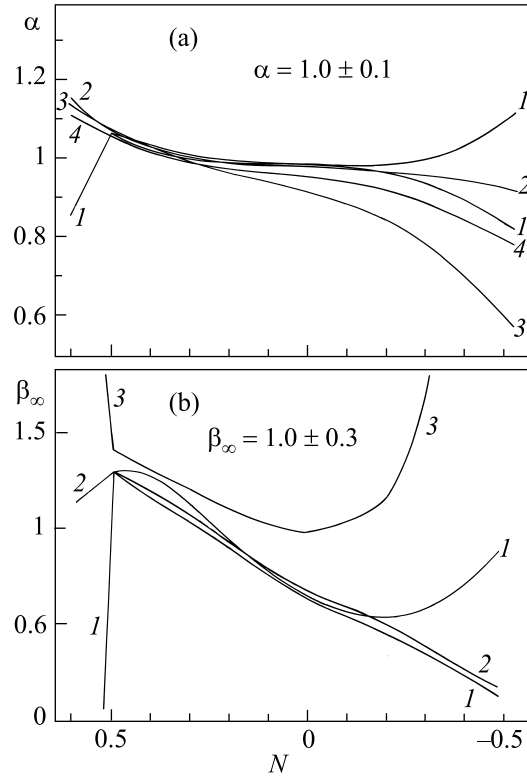


Рис.3

тонкой структуры в чистой электродинамике происходит на малых расстояниях  $L$  по закону  $L^{-2}$ .

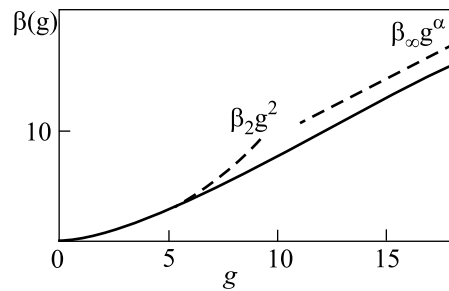


Рис.4

Работа выполнена при поддержке INTAS (грант # 99-1070) и Российского фонда фундаментальных исследований (грант # 00-02-17129).

1. И. М. Суслов, Письма в ЖЭТФ **71**, 315 (2000).
2. И. М. Суслов, ЖЭТФ **120**, 5 (2001).
3. Л. Н. Липатов, ЖЭТФ **72**, 411 (1977).
4. G. t'Hooft, in: *The whys of subnuclear physics*, Erice, 1977, Ed. A. Zichichi, Plenum Press, New York, 1979.
5. M. Beneke, Phys. Rept. **317**, 1 (1999), Sec. 2.4.
6. И. М. Суслов, ЖЭТФ **116**, 369 (1999).
7. C. Itzykson, G. Parisi, and J. B. Zuber, Phys. Rev. **D16**, 996 (1977); R. Balian, C. Itzykson, G. Parisi, and J. B. Zuber, Phys. Rev. **D17**, 1041 (1978).
8. E. B. Bogomolny and V. A. Fateyev, Phys. Lett. **B76**, 210 (1978).
9. E. B. Bogomolny, V. A. Fateyev, and L. N. Lipatov, Sov. Sci. Rev. A – Physics Reviews, Ed. I. M. Khalatnikov, **2**, 1980, Harwood Academic Press, NY, p. 247.
10. И. М. Суслов, ЖЭТФ **117**, 659 (2000).
11. S. G. Gorishny, A. L. Kataev, S. A. Larin, and L. R. Surguladze, Phys. Lett. **B256**, 81 (1991).
12. N. V. Krasnikov, Nucl. Phys. **B192**, 497 (1981); H. Yamagishi, Phys. Rev. **D25**, 464 (1982).